



بررسی خروج از خط خودرو ریلی سرعت بالا در مسیر قوسی شکل با جابجایی طولی

مهرداد آذری نژاد^۱، محمد رضا قضاوی^{۲*}، سasan رحمانیان^۳

۱- دانشجوی کارشناسی ارشد، مهندسی مکانیک، دانشگاه تربیت مدرس، تهران

۲- دانشیار، مهندسی مکانیک، دانشگاه تربیت مدرس، تهران

۳- دانشجوی کارشناسی ارشد، مهندسی مکانیک، دانشگاه تربیت مدرس، تهران

*تهران، صندوق پستی ۱۴۱۱۵-۱۱۱، ghazavim@modares.ac.ir

چکیده

به منظور جلوگیری از حوادث ناخوشایند، حفظ پایداری وسائل ریلی پرسرعت اهمیت حیاتی دارد، بدین منظور در تحقیق حاضر، دینامیک خودروی ریلی سرعت بالا شامل ۳۸ درجه آزادی با اضافه کردن معادلات حرکت در جهت محور طولی مدل شده است. محاسبه سرعت بحرانی برای خودروی ریلی مذکور با ریل الاستیک غیرخطی برای تماس چرخ و ریل نیز از دیگر دست آوردهای این تحقیق می‌باشد. در این پژوهش به بررسی حرکت پایدار و رفتار هانتینگ سیستم پرداخته و جهت شناسایی حرکت آشوبناک سیستم از تحلیل فرکانسی استفاده شده است. همچنین با رسم نگاشت پونکاره رفتار دینامیکی سیستم به نماش در آمد، که می‌تواند معیار خوبی برای بررسی آشوبناک یا استاتوب بودن رفتار سیستم باشد. رفتار بلندمدت مشخص می‌کند که در سرعت‌های کمتر از سرعت‌های بحرانی سیستم به سمت حالت پایدار نوسان خواهد کرد. در حرکت پایدار تا زمانی که سرعت کمتر از سرعت بحرانی است، نوسان ادامه دارد. وقتی سیستم به سرعت بحرانی می‌رسد حرکت سیکل محدود رخ خواهد داد و وقتی سرعت بالاتر از سرعت بحرانی باشد دامنه ارتعاش به طور ملایم افزایش خواهد یافت. از منحصري پاسخ فرکانسی سیستم نتیجه می‌گردد که فرکانس هانتینگ محاسبه شده بر اساس ریل الاستیک خطی از مدل غیرخطی بیشتر خواهد بود.

اطلاعات مقاله

مقاله پژوهشی کامل

دریافت: ۰۱ بهمن ۱۳۹۳

پذیرش: ۲۴ بهمن ۱۳۹۳

ارائه در سایت: ۱۵ فروردین ۱۳۹۴

کلید واژگان:

دینامیک خودروی ریلی سرعت بالا

هانتینگ

نگاشت پونکاره

خرش غیرخطی

ریل الاستیک غیرخطی

Dynamic analysis of the derailment of high-speed railway vehicle on a curved path with longitudinal displacement

Mehrdad Azarinezhad, Mohammad Reza Ghazavi*, Sasan Rahmanian

Department of Mechanical Engineering, Tarbiat Modares University, Tehran, Iran
* P.O.B. 14115/111, Tehran, Iran, ghazavim@modares.ac.ir

ARTICLE INFORMATION

Original Research Paper

Received 21 January 2015

Accepted 13 February 2015

Available Online 04 April 2015

Keywords:

High-speed railway vehicle dynamics

Hunting

Poincaré map

nonlinear creep

nonlinear elastic rail

ABSTRACT

In order to avoid unpleasant incidents, it is crucial to maintain the stability for a high-speed railway vehicle. In this research, a high-speed railway vehicle dynamics with 38 degrees of freedom was investigated, adding longitudinal movement equations. Another innovation of this investigation is to determine the critical velocity for the studied railway vehicle and using nonlinear elastic rail for the wheel and rail contact. In this study, the stable and hunting behavior of the system was investigated. To identify the chaotic motion of the system, frequency analysis has been performed. Also, by plotting the Poincaré map, dynamic behavior of the system is illustrated in a discrete state space, which could be good criteria for the chaotic or periodic behavior of the system. Long-term behavior reveals that at speeds lower than the critical speed, the system oscillates until it reaches the steady-state of the system. In steady motion, the oscillation continues until the critical speed. When the system reaches the critical velocity, the motion on the limit cycle occurs for the first time and when the speed is higher than critical speed, the vibration amplitude increased smoothly. It was observed from the frequency response plot that the hunting frequency evaluated via the linear elastic rail is higher than that derived using a nonlinear model.

معرف عملکرد وسیله نقلیه ریلی و نیروهای اعمالی به ریل باشد. از پیامدهای

روی دادن هانتینگ می‌توان به راحت نبودن مسافران، افزایش هزینه تعمیرات و تولید نیروهای جانبی بزرگ که باعث آسیب رساندن به ریل و خروج از خط شود، نام برد [۱]. مقالات متعددی در بررسی پایداری دینامیکی وسیله نقلیه ریلی ارائه شده است. که اغلب با در نظر گرفتن درجه آزادی شامل درجه آزادی جانبی و قائم برای چرخ و محور، قاب بوژی و بدنه خودرو ریلی صورت گرفته است [۵-۲].

امروزه حمل و نقل ریلی یکی از اقتصادی‌ترین روش‌های انتقال مسافر و بار در بیشتر کشورهاست. با ظهور قطارهای مسافری سرعت بالا، تعیین محدوده کاری آن‌ها در سرعت بالا و به دور از ناپایداری هانتینگ بعنوان یکی از مسائل مهم مطرح شده است. هانتینگ در حالت بحرانی در کنار سایش چرخ و خستگی آن می‌تواند موجب خروج از خط و بروز سوانح شود. دانستن رفتار دینامیکی وسیله نقلیه ریلی نه تنها برای طراح ضروری است بلکه می‌تواند

۱- مقدمه

برای ارجاع به این مقاله از عبارت ذیل استفاده نمایید:

M. Azarinezhad, M.R. Ghazavi, S. Rahmanian, Dynamic analysis of the derailment of high-speed railway vehicle on a curved path with longitudinal displacement, *Modares Mechanical Engineering*, Vol. 15, No. 5, pp. 309-318, 2015 (In Persian)

در سال 2011، کیم و همکارانش [14] با مدل کردن خودروی ریلی سرعت بالا با 31 درجه آزادی به بررسی پایداری پرداختند. آن‌ها از روش غیرمستقیم لیاپانوف برای بررسی پایداری استفاده کردند و تأثیر پارامترهای سیستم تعليق اولیه و ثانویه را بر سرعت بحرانی موربد بررسی فراردادند. همچنین دریافتند که سرعت بحرانی به سفتی طولی و جانبی اولیه حساس است. آنالیز مودال رانیز برای سیستم خود انجام دادند. منحنی انشعاب برای چرخ و محور کشنه در بوزی پیشرو در کارهای آن‌ها دیده شده است.

در سال 2012 وی وانگ و همکارانش [15] یک مدل دینامیکی از وسیله نقلیه ریلی را ارائه کردند. آنان مسئله افزایش سرعت را بررسی کردند و نتایج نشان می‌دهد موقعیت تماسی چرخ ریل در یک زاویه تماسی ماقریم، در طول بالا رفتگی چرخ، یک نقطه بحرانی دارد، که اگر چرخ از این نقطه بحرانی عبور کند خروج از خط به‌آسانی اتفاق می‌افتد. همچنین در همین سال گری-ژیان لی و همکارانش [16] دو نوع راجح از دینامیک خروج از ریل را در DDSHV¹ مطالعه کردند و به این نتیجه رسیدند که اولاً یک نقطه بحرانی در تحلیل بلند شدن چرخ وجود دارد و ثانیاً دینامیک اثرات تضعیفی در بلند شدن چرخ از ریل ارتقا داده شده است. ضمناً فاکتورهای اصلی مانند سرعت و شرایط ریل بر روی اثرات دینامیکی تضعیف‌شدگی بررسی شده است. در سال 2013 چویی و همکاران [17] به بررسی آسیب‌های وارد بر چرخ و ریل ناشی از اثرات فرسایشی و خستگی و تأثیر آن بر ایمنی و نگهداری وسایل نقلیه پرداخته‌اند. ایشان پروفیل فلنچ چرخ را برای کاهش فرسایش فلنچ و خستگی آن بهینه کرده و روی یک مسیر منحنی برنامه‌ی تحلیل مکانیکی ریل و چرخ را بررسی کرده و به این نتیجه رسیدند که طراحی‌های بهینه عملکرد بهتری را نشان می‌دهند و موجب خستگی و فرسایش کمتری نسبت به پروفیل چرخ اولیه می‌شوند.

در تحقیق حاضر وسیله نقلیه ریلی به صورت یک مدل 38 درجه آزادی با در نظر گرفتن تمامی حرکت‌های ممکن (طولی، عرضی، قائم و چرخش حول محورهای مذکور) در نظر گرفته شده است. همچنین تأثیر ریل الاستیک غیرخطی و جابجایی طولی بر پایداری جانبی بررسی شده است. برای حل معادلات از روش رانگ کاتاتی² مرتبه (4) و (5) و شرایط اولیه صفر استفاده شده است. حرکت پایدار و رفتار حلقه بسته متناظر با آن بررسی شده است. فرکانس طبیعی سیستم نیز از یک مدل ریاضی غیرخطی به دست آمده است. همچنین با رسم نگاشت پونکره رفتار دینامیکی سیستم نشان داده شده است، که معیار خوبی برآشوناک یا متنابو بودن رفتار سیستم خواهد بود.

2- فرموله کردن سیستم 38 درجه آزادی خودرو ریلی

2-1- توصیف سیستم خودرو ریلی

شکل 1، تصویر شماتیکی از خودرو ریلی را نشان می‌دهد که در آن اجزای فنر دمپر نمایش داده شده است، بعضی از پارامترهای هندسی در این مطالعه نشان داده شده است.

شکل 1، مدل را که شامل بدن خودرو ریلی، بوزی‌های عقبی و جلویی که نسبت به صفحه میانی تقارن اجزایی دارند و مجموعه چرخ و محورها که برای هر قاب بوزی می‌باشد را نشان می‌دهد. قاب بوزی و مجموعه چرخ و محورها توسعه سیستم تعليق اولیه به هم متصل شده‌اند در حالی که بدن خودرو ریلی و قاب بوزی توسعه سیستم تعليق ثانویه به هم متصل شده‌اند، هر دو سیستم تعليق با سه سیستم فنر دمپر مدل شده‌اند که توانایی حرکت را در راستای طولی، جانبی و قائم دارند.

1- Dynamic Derailment Simulation for High-speed Vehicle
2- Runge-Kutta

در سال 2006، لی و چنگ [6] به بررسی تأثیر حرکت قائم و غلتی بر روی سرعت بحرانی سیستم پرداختند. آن‌ها به این نتیجه رسیدند که سرعت بحرانی سیستم 8 درجه آزادی از سیستم 6 درجه آزادی بیشتر است. در همین سال، فان و همکارانش [7] رفتار دینامیکی خودروی ریلی در مسیر مستقیم با 28 درجه آزادی شامل 4 چرخ و محور، 2 بوزی و یک بدن خودروی ریلی را مورد بررسی قراردادند. که هر کدام از این اجزاء دارای 4 درجه آزادی بودند.

در سال 2008، لی و چنگ [8] بر مبنای مدل خوش غیرخطی معادلات حرکت مدل خودروی ریلی با 8 درجه آزادی را استخراج کردند. آن‌ها تأثیر پارامترهای سیستم تعليق ثانویه را بر سرعت بحرانی سیستم مورد مطالعه قراردادند. آن‌ها به این نتیجه رسیدند که برای سیستم 8 درجه آزادی سرعت بحرانی مدل خوش خطی از مدل خوش غیرخطی بیشتر و برای سیستم 6 درجه آزادی سرعت بحرانی مدل خوش خطی از مدل خوش غیرخطی کمتر است. در همین سال ژنگ و وو [9]، رابطه‌ی جدیدی برای محاسبه خروج از خط استخراج کردند. آن‌ها در محاسبات خود زاویه تماس لبه چرخ، ضربی اصطکاک، نیروهای خوشی طولی و زاویه حمله چرخ و محور را در نظر گرفتند. با تحلیل عددی، آن‌ها دریافتند که معادله تحلیلی آن‌ها از فرمول نادال محدوده اینمی بیشتری دارد. به این نتیجه رسیدند که افزایش زاویه تماس لبه چرخ و همچنین کاهش زاویه حمله چرخ و محور و ضربی اصطکاک در جلوگیری از خروج از خط تأثیر مهمی دارد.

در سال 2009، چن و همکارانش [10] از مدل ابتکاری غیرخطی خوشی برای تحلیل رفتار خودروی ریلی سرعت بالا با 20 درجه آزادی در یک قوس، استفاده کردند. آن‌ها تأثیر پارامترهای سیستم تعليق نوع اول و دوم را بر سرعت بحرانی تحقیق کردند. آن‌ها دریافتند که با افزایش سفتی قائم سیستم تعليق نوع دوم، سرعت بحرانی ابتدا کاهش و سپس افزایش می‌باید و افزایش دمیپینگ قائم سیستم تعليق نوع دوم با افزایش سرعت بحرانی همراه است.

در سال 2010، زیبونسکی و دوسا [11] یک ایده‌ی اساسی برای تخمین پایداری و ناپایداری خودروهای ریلی ارائه دادند. آن‌ها منحنی‌های انشعاب را برای یک قوس به شعاع 600 متر و یک مسیر مستقیم رسم کردند. آن‌ها از یک مدل ساده برای سیستم خود استفاده کردند. تأثیر شرایط اولیه مختلف را بر روی حلقه‌های بسته مورد بررسی قراردادند. در همین سال ژای و وانگ [12] از یک سری توابع خطی و نیروهای خوشی برای بیان نیروهای فعلی بین چرخ و ریل استفاده کردند. مدل خودروی ریلی آن‌ها شامل 17 درجه آزادی بود. شکل‌های انشعاب برای چرخ و محور کشنه توسط آن‌ها رسم شد. آن‌ها نقطه هاپ و نقطه زینی را برای منحنی انشعاب استخراج کردند. شکل‌های تحلیل فرکانسی در نتایج آن‌ها دیده می‌شد. آن‌ها سرعت بحرانی خطی و غیرخطی را برای حلله‌های خود به دست آوردند. در مدل آن‌ها ریل دارای سفتی جانبی بود که نیروی لبه چرخ بر اساس آن نوشته می‌شد. کیم و سئوک [13] با استفاده از روش ضرایب چندگانه به بررسی منحنی انشعاب خودروی ریلی پرداختند. آن‌ها منحنی سرعت جانبی را بر حسب جابجایی جانبی برای مجموعه چرخ و محور رسم کردند. همچنین تحلیل فرکانسی مدل خوشی خطی و مدل خوشی غیرخطی را مقایسه کردند. آن‌ها در مدل خود از 31 درجه آزادی استفاده کرده بودند. تماس چرخ و ریل در مدل آن‌ها به صورت دو فنر خطی در جهت‌های قائم و جانبی شبیه‌سازی شده بود. آن‌ها شکل‌های جابجایی جانبی چرخ و محور کشنه در بوزی پیشرو را بر حسب فرکانس رسم کردند و منحنی‌های حلقه بسته را در نتایج خود به دست آوردند.

مدل می‌شوند و سختی‌های جانبی و عمودی مانند آنچه در شکل 2 آمده است در نظر گرفته می‌شود.

2- شبیه‌سازی مدل تماس چرخ ریل

به منظور در نظر گرفتن خوش که روی نقاط تماس اولیه اتفاق می‌افتد، یک مدل اکتشافی غیرخطی، شامل تأثیرات غیرخطی از جمله چسبندگی محدود به کار گرفته می‌شود. با استفاده از نظریه خطی کالکر²، نیروها و ممان‌های خوشی در طرف راست و چپ صفحات تماس به صورت (1) مدل می‌شود:

$$F_{Lxij}^* = -\frac{f_{33}}{V} \left\{ V \left(1 + \frac{a}{R_y} - \frac{r_L}{r_0} \right) - a \dot{\psi}_{wij} \right\} \quad (1-\text{الف})$$

$$F_{Lyj}^* = -\frac{f_{11}}{V} \left(y_{wij} + r_L \dot{\phi}_{wij} - V \psi_{wij} \right) - \frac{f_{12}}{V} \left(\psi_{wij} - \frac{V}{R_y} - \frac{V}{r_0} \delta_L \right) \quad (1-\text{ب})$$

$$M_{Lzij}^* = \frac{f_{12}}{V} \left(\dot{y}_{wij} + r_L \dot{\phi}_{wij} - V \psi_{wij} \right) - \frac{f_{22}}{V} \left(\psi_{wij} - \frac{V}{R_y} - \frac{V}{r_0} \delta_L \right) \quad (1-\text{ج})$$

$$F_{Rxij}^* = -\frac{f_{33}}{V} \left\{ V \left(1 - \frac{a}{R_y} - \frac{r_R}{r_0} \right) + a \dot{\psi}_{wij} \right\} \quad (1-\text{د})$$

$$F_{Ryij}^* = -\frac{f_{11}}{V} \left(y_{wij} + r_L \dot{\phi}_{wij} - V \psi_{wij} \right) - \frac{f_{12}}{V} \left(\psi_{wij} - \frac{V}{R_y} + \frac{V}{r_0} \delta_R \right) \quad (1-\text{ه})$$

$$M_{Rzij}^* = \frac{f_{12}}{V} \left(\dot{y}_{wij} + r_R \dot{\phi}_{wij} - V \psi_{wij} \right) - \frac{f_{22}}{V} \left(\psi_{wij} - \frac{V}{R_y} - \frac{V}{r_0} \delta_R \right) \quad (1-\text{و})$$

اندیس‌های $i = 1$ برای بوژی جلو، $i = 2$ برای بوژی عقبی و $j = 1$ مجموعه چرخ‌های خودرو ریلی و $j = 2$ مجموعه چرخ‌های دنبال موقیعیت‌های بوژی و مجموعه چرخ‌های خودرو ریلی را مشخص می‌کنند. زیرنویس‌های L و R به ترتیب به جهت‌های چپ و راست اشاره می‌کنند. V سرعت حرکت خودرو ریلی، R_y شعاع قوس ریل، r_0 و a شعاع و پارامتر مخروطی چرخ‌ها، f_{11} ، f_{22} ، δ_L ، δ_R ، r_L و r_R زاویه تماس و شعاع غلتشی چرخ چپ و راست و f_{33} به ترتیب ضرایب نیروهای خوشی جانبی، خوشی طولی / چرخشی، خوشی چرخشی و خوشی طولی می‌باشند.

α_{ij} ضریب اشباع در مدل خوش غیرخطی به کمک روش جانسون³ از نیروهای خوشی نامحدود حاصل می‌شود [14]:

$$\alpha_{ij} = \frac{1}{\beta_{ij}} \left(\beta_{ij} - \frac{1}{3} \beta_{ij}^2 + \frac{1}{27} \beta_{ij}^3 \right) \left[\frac{1}{2} \tanh \left\{ 10^4 (3 - \beta_{ij}) \right\} + \frac{1}{2} \right] + \frac{1}{\beta_{ij}} \left[\frac{1}{2} \tanh \left\{ 10^4 (\beta_{ij} - 3) \right\} + \frac{1}{2} \right] \quad (2)$$

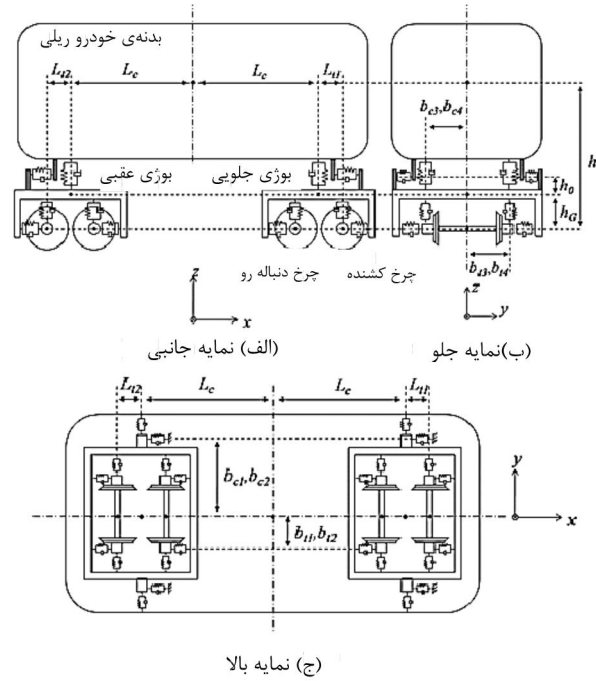
که در آن

$$\beta_{p_{ij}} = \frac{\sqrt{(F_{Pxij}^*)^2 + (F_{Pyij}^*)^2}}{\sqrt{(N_{Pxyj}^*)^2 + (N_{Pzij}^*)^2}}, p = L, R \text{ و } \beta_{ij} = \frac{\beta_{Rij} + \beta_{Lij}}{2} \quad (3)$$

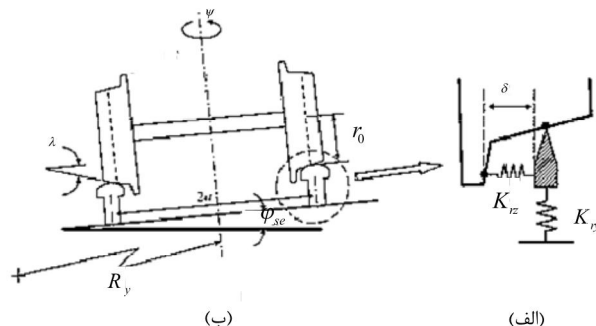
جملات N_{pxij} ، N_{pyij} و N_{pzij} نیروهای نرمال در جهت‌های طولی، جانبی و قائم وارد بر صفحات تعادل می‌باشند. با در نظر گرفتن شکل مجموعه چرخ‌ها نیروهای جانبی و عمودی نرمال در نقطه تماس اولیه به کمک روابط (4) تا (6) به دست می‌آید:

$$N_{Pzij} = \begin{cases} -K_{rz}(Z_{wij} - \lambda y_{wij} + a\phi_{wij})^n & P=L \\ -K_{rz}(Z_{wij} + \lambda y_{wij} - a\phi_{wij})^n & P=R \end{cases} \quad (4)$$

2- Linear theory Kalkr
3- Johnson Method



شکل 1 مدل خودروی ریلی [14]



شکل 2 مدل تماس مجموعه چرخ و ریل [14]

درنتیجه تمام حرکات ممکن (طولی، جانبی، عمودی و دوران حول محورهای مذکور) اجزای سیستم (بدنه خودرو ریلی، بوژی و چرخ محور) که توسط دو سیستم تعليق به هم متصل شده‌اند امکان‌پذیر می‌شوند. با در نظر گرفتن تمامی حرکت‌های ممکن، 6 درجه آزادی برای بدنه واگن و 6 درجه آزادی برای هر بوژی مشخص می‌گردد. با درنظر گرفتن سرعت چرخشی ثابت، می‌توان از مؤلفه چرخش حول محور ψ برای مجموعه چرخ و محور صرف‌نظر کرد. بنابراین 5 درجه آزادی برای مجموعه چرخ و محور باقی می‌ماند. درنتیجه سیستم شامل 38 درجه آزادی می‌باشد.

سازوکارهای تماس بین چرخ و سطح ریل پیچیده هستند و الیه بسیار مهم، زیرا تا حدی بر رفتار دینامیکی و پایداری هانتینگ، تأثیرگذار می‌باشند. شکل 2 شماتیک سازوکار تماس بین چرخ‌ها و ریل را نشان می‌دهد. در حالت کلی رده اثر ریل را می‌توان به صورت یک منحنی با شعاع قوس ریل R_y و زاویه شبیه ریل φ_{se} نشان داد [18]. می‌توان تماس‌های بین چرخ و ریل را به دو دسته‌ی اولیه و ثانویه دسته‌بندی کرد، که به ترتیب در سطوح تخت، فلنچ‌های چرخ و پهلوهای ریل اتفاق می‌افتد. تماس اولیه، یک نیروی خوشی غیر پایستار را در ناحیه‌ی تماس بیضوی القا می‌کند. وقتی فضای خالی بین فلنچ‌های چرخ و ریل صفر باشد، تماس ثانویه با پهلوهای ریل خواهد بود. در این بررسی، چرخ‌ها مخروطی فرض می‌شود و ریل‌ها به صورت لبه‌ی تیغ

1- Knife-edge

$$\begin{aligned} m_w \left(\ddot{y}_{wij} - \frac{V^2}{R_y} \right) &= -m_w g \phi_{se} + (F_{Lyij}^n + F_{Ryij}^n) \\ &+ N_{Lyij} + N_{Ryij} + F_{sywij} - F_{tij} \end{aligned} \quad (ج-9)$$

$$\begin{aligned} m_w \left(\ddot{z}_{wij} - \frac{V^2 \phi_{se}}{R_y} \right) &= -m_w g + (F_{Lzij} + F_{Rzij}) \\ &+ N_{Lzij} + N_{Rzij} + F_{szwij} \end{aligned} \quad (ج-9)$$

$$\begin{aligned} I_{wz} \dot{\psi}_{wij} + \frac{I_{wy} V \dot{\phi}_{wij}}{r_0} &= R_{Rxij} F_{Ryij}^n - R_{Ryij} F_{Rxij}^n \\ &+ R_{Lxij} F_{Lyij}^n - R_{Lyij} F_{Lxij}^n \\ &+ R_{Rxij} N_{Ryij} + R_{Lxij} N_{Lyij} \\ &+ M_{Lzij}^n + M_{Rzij}^n + M_{szwij} \end{aligned} \quad (ج-9)$$

$$\begin{aligned} I_{wx} \ddot{\phi}_{wij} + \frac{I_{wy} V \left(\frac{V}{R_y} - \dot{\psi}_{wij} \right)}{r_0} &= R_{Ryij} F_{Rzij} - R_{Rzij} F_{Ryij}^n \\ &+ R_{Lyij} F_{Lzij} - R_{Lzij} F_{Lyij}^n \\ &+ R_{Ryij} N_{Rzij} + R_{Lyij} N_{Lzij} \\ &- R_{Rzij} N_{Ryij} - R_{Lzij} N_{Lyij} \\ &+ M_{Lxij} + M_{Rxij} + M_{sxwij} \end{aligned} \quad (ج-9)$$

در معادلات زیرنویس W نشان‌دهندهٔ چرخ و محور می‌باشد، R_{pyij} ، R_{pxij} و R_{pzij} بردار موقعیت تماس چرخ و ریل می‌باشد.

نیروهای خوش خطی و ممان‌های آن، می‌توان در قالب روابط زیر با انتقال نیروهای خوشی در سیستم مختصات تعادلی، که در صفحه‌ای تماس تعریف می‌شود چیده شود:

$$F_{Lxij} = F_{Lxij}^* - F_{Lyij}^* \psi_{wij} \quad (الف)$$

$$F_{Lyij} = F_{Lxij}^* \psi_{wij} + F_{Lyij}^* \quad (ب)$$

$$F_{Lzij} = F_{Lzij}^* (\delta_L + \phi_{wij}) \quad (ج)$$

$$M_{Lxij} = M_{Lxij}^* (\delta_L + \phi_{wij}) \psi_{wij} \quad (د)$$

$$M_{Lzij} = M_{Lzij}^* \quad (ه)$$

$$F_{Rxij} = F_{Rxij}^* - F_{Ryij}^* \psi_{wij} \quad (و)$$

$$F_{Ryij} = F_{Rxij}^* \psi_{wij} + F_{Ryij}^* \quad (ز)$$

$$F_{Rzij} = -F_{Ryij}^* (\delta_R - \phi_{wij}) \quad (ح)$$

$$M_{Ryij} = M_{Ryij}^* (\delta_R + \phi_{wij}) \psi_{wij} \quad (ط)$$

$$M_{Rzij} = M_{Rzij}^* \quad (ه)$$

نیروهای خوش غیرخطی و ممان‌های آن را با ضرب ضرایب اشباع متناظر در نیروهای خوش خطی متناظرشان به دست می‌آید [19]:

$$F_{pxij}^n = \alpha_{ij} F_{Pxij} \quad (الف)$$

$$F_{pyij}^n = \alpha_{ij} F_{Pyij} \quad (ب)$$

$$M_{pzij}^n = \alpha_{ij} M_{Pzij} \quad (ج)$$

درنهایت به کمک پارامترهای شکل هندسی خودروی ریلی، بردارهای موقعیت در قالب روابط (12) به دست می‌آید:

$$R_{Rxij} = a \psi_{wij} \quad (الف)$$

$$R_{Ryij} = -a + r_R \phi_{wij} \quad (ب)$$

$$R_{Rzij} = -a \phi_{wij} - r_R \quad (ج)$$

$$N_{Pyij} = \begin{cases} -N_{Pyij} \tan(\delta_p + \phi_{wij}) \cos(\psi_{wij}) & P=L \\ N_{Pyij} \tan(\delta_p - \phi_{wij}) \cos(\psi_{wij}) & P=R \end{cases} \quad (5)$$

$$N_{Pxij} = \begin{cases} -N_{Pxij} \tan(\delta_p + \phi_{wij}) \sin(\psi_{wij}) & P=L \\ N_{Pxij} \tan(\delta_p - \phi_{wij}) \sin(\psi_{wij}) & P=R \end{cases} \quad (6)$$

که در آن K_{rz} سختی عمودی ریل، λ پارامتر مخروطیت چرخ‌ها و a نصف فاصلهٔ بین لبه‌های داخلی ریل‌ها می‌باشد. ازآجایی که در این مطالعه ریل به صورت الاستیک مدل می‌شود عکس‌العمل‌های عمودی روی هر چرخ می‌تواند به عنوان یک نیروی فنری در نظر گرفته شود. نیروی تماس لبه چرخ به صورت رابطه (7) خود را نشان می‌دهد:

$$\begin{aligned} F_{tij} &= K_{ry} (y_{wij} - \delta)^n \left[\frac{1}{2} \tanh\{10^4(y_{wij} - \delta)\} + \frac{1}{2} \right] \\ &+ K_{ry} (y_{wij} + \delta)^n \left[\frac{1}{2} \tanh\{10^4(-y_{wij} - \delta)\} + \frac{1}{2} \right] \end{aligned} \quad (7)$$

که K_{ry} و δ عبارت‌های سفتی جانبی و لقی لبه چرخ را نشان می‌دهند. توان n در معادلات (4) و (7) نشان‌دهندهٔ خطی یا غیرخطی بودن ریل است. در این مقاله مقادیر n برابر ۱ و ۳ در نظر گرفته شده است. طوری که $n=1$ نشان‌دهندهٔ ریل الاستیک خطی و $n=3$ نشان‌دهندهٔ ریل الاستیک غیرخطی می‌باشد.

3- معادلات حرکت خودرو ریلی

3-1- بدنهٔ خودرو ریلی و بوژی

معادلات حرکت سیستم که در بخش قبلی توصیف شد، با جابجایی‌های خطی و زاویه‌ای مناسب در سیستم مختصات (کارتزین) همان‌گونه که در شکل ۱ نشان‌دهنده است، بدست می‌آید.

پارامترهای غیرخطی ناشی از چرخ، فلنچ و ریل‌ها و همچنین نیروهای خوشی غیرخطی نیز در این مدل به کار گرفته می‌شود.

با انجام برخی فرآیندهای خطی سازی و ساده کردن روابط حاصله،

معادلات حرکت برای بدنهٔ خودرو ریلی و قاب‌های بوژی در جهت طولی، جانبی و قائم به صورت (8) استخراج می‌شوند:

$$m_q \ddot{x}_q = F_{sq}, \quad (q=c, t_1, t_2) \quad (الف)$$

$$m_q \left(\ddot{y}_q - \frac{V^2}{R_y} \right) = -m_q g \phi_{se} + F_{syq}, \quad (q=c, t_1, t_2) \quad (ب)$$

$$m_q \left(\ddot{z}_q - \frac{V^2 \phi_{se}}{R_y} \right) = -m_q g + F_{szq}, \quad (q=c, t_1, t_2) \quad (ج)$$

$$I_{qz} \dot{\psi}_q = M_{szq}, \quad (q=c, t_1, t_2) \quad (د)$$

$$I_{qz} \dot{\phi}_q = M_{sqq}, \quad (q=c, t_1, t_2) \quad (ه)$$

$$I_{qz} \ddot{\psi}_q = M_{syq}, \quad (q=c, t_1, t_2) \quad (ز)$$

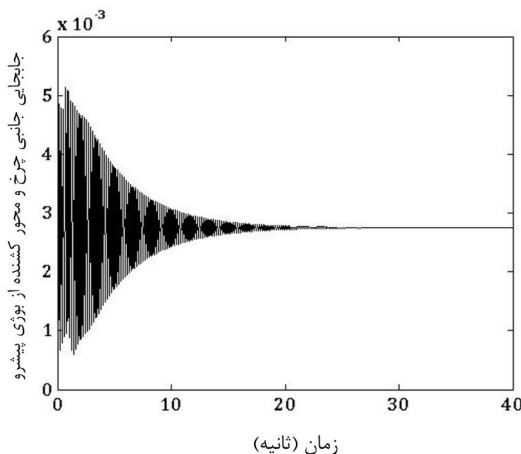
که در آن c ، t_1 و t_2 برای زیرنویس q به ترتیب بدنهٔ خودرو ریلی، قاب جلویی بوژی و قاب عقبی بوژی را مشخص می‌کند.

به منظور ساده‌سازی در توصیف معادلات، زیرنویس ω نشان‌دهندهٔ نیروها و ممان‌های وارد به سیستم تعليق می‌باشد (پیوست الف ملاحظه شود).

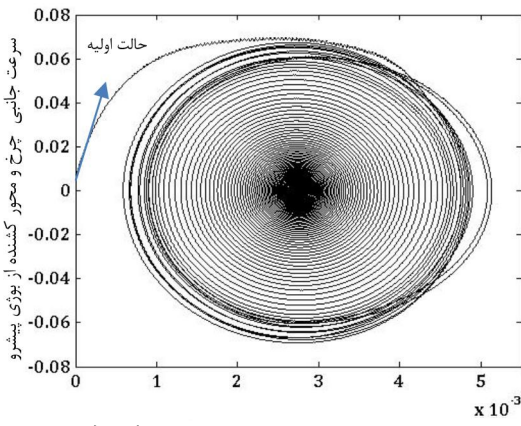
3-2- چرخ و محور

به روش مشابه، معادلات حرکت برای مجموعهٔ چرخ و محورها در جهت‌های طولی، جانبی و قائم به کمک روابط (9) حاصل می‌شود:

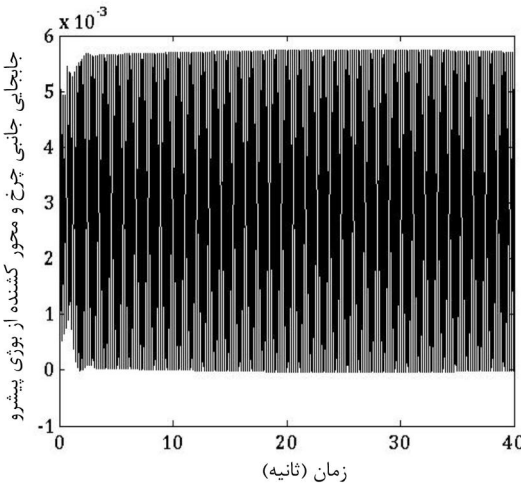
$$m_w \ddot{x}_{wij} = F_{Lxij}^n + F_{Rxij}^n + N_{Lxij} + N_{Rxij} + F_{sxwij} \quad (الف)$$



شکل 3 جابجایی جانبی چرخ و محور کشنده از بوزی پیشرو بر حسب زمان(برای سرعت 312 کیلومتر بر ساعت)



شکل 4 سرعت جانبی چرخ و محور کشنده از بوزی پیشرو ($x_{w_{11}}$) بر حسب جابجایی جانبی آن ($y_{w_{11}}$) (برای سرعت 312 کیلومتر بر ساعت)



شکل 5 جابجایی جانبی چرخ و محور کشنده از بوزی پیشرو بر حسب زمان(برای سرعت 317/5 کیلومتر بر ساعت)

برای سرعت بیشتر از سرعت بحرانی هم نتایج به دست آمده است. به همین منظور برای شرایط فوق بحرانی سرعت 320 کیلومتر بر ساعت در شکل های (7) و (8) نشان داده شده است. همانطور که در شکل (7) دیده می شود، با گذشت زمان دامنه ارتعاشات افزایش پیدا کرده و در نهایت به مقدار ثابتی خواهد رسید. در حقیقت، دامنه ارتعاشات نسبت به حالت بحرانی، افزایش پیدا کرده است.

$$R_{Lxij} = -\partial \psi_{wij} \quad (12)$$

$$R_{Lyij} = a + r_L \phi_{wij} \quad (12)$$

$$R_{Lzij} = a \phi_{wij} - r_L \quad (12)$$

4- حل عددی

همانطور که در مدل دینامیکی در بخش قبل نشان داده شد معادلات حرکت دینامیکی به صورت ذاتی غیرخطی هستند که از اعمال مستقیم تئوری های عمومی خطی جلوگیری می کنند.

سیستم معادلات حرکت نشان داده شده در روابط (8) و (9) را می توانند در فرم برداری مناسب تر (13) ارائه شوند:

$$\dot{x}(t) = F(x(t)) \quad (13)$$

در معادله (13)، $x(t)$ برداری شامل 76 مؤلفه و $F(x(t))$ بردار غیرخطی دربرگیرنده 76 مؤلفه می باشد.

به منظور شبیه سازی عددی معادلات حرکت از روش رانگ کاتای مرتبه (5) و شرایط اولیه صفر استفاده شده است، به گونه ای که در این روش، حلگر ode45 در نرم افزار متلب، با گام زمانی اولیه 0/0001 ثانیه مورد استفاده قرار گرفته شده و مقادیر پارامترها در پیوست ب آورده شده است.

5- بررسی و تحلیل نتایج

5-1- حرکت پایدار و رفتار حلقه بسته متناظر

بررسی دینامیکی خودرو ریلی بصورت نرمال با جستجوی شرایط پایدار سیستم و سرعت بحرانی شروع می گردد. سرعت بحرانی پایین ترین سرعتی است که حرکت هانتینگ به وجود می آید.

برای شرایط سرعت 312 کیلومتر بر ساعت، شکل جابجایی جانبی چرخ و محور کشنده از بوزی پیشرو ($y_{w_{11}}$) بر حسب زمان نشان داده شده است(شکل(3)). همانطور که در این شکل دیده می شود با ورود به قوس ارتعاشات ماکریزم مقدار خود را دارد و این ارتعاشات با مرور زمان به صفر می رسد و شرایط پایدار سیستم بعد از گذشت زمان زیاد، بوجود می آید. تصویر صفحه فاز به صورت سرعت جانبی چرخ و محور کشنده از بوزی پیشرو ($y_{w_{11}}$) بر حسب جابجایی جانبی آن ($x_{w_{11}}$) برای سرعت 312 کیلومتر بر ساعت در شکل (4) نشان داده شده است. همانطور که در این شکل دیده می شود با شروع از حالت اولیه ارتعاشات حول نقطه تعادل همگرا می شود و بعد از گذشت زمان زیاد به پایداری می رسد.

با افزایش سرعت همچنان حرکت پایدار خواهد بود و شکلی مانند شکل(3) شکل خواهد گرفت. با این تفاوت که دامنه ارتعاشات در حالت پایدار به مقدار خیلی کم افزایش پیدا می کند.

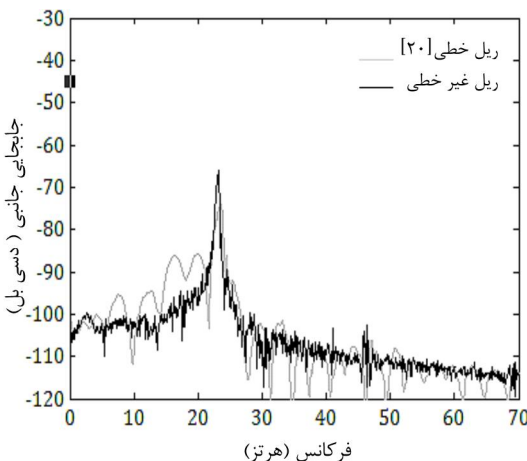
با افزایش سرعت سیستم به حالتی خواهد رسید که با گذشت زمان ارتعاشات از بین نخواهد رفت و دامنه ارتعاشات در یک مقدار ثابت باقی خواهد ماند، این سرعت، سرعت هانتینگ بحرانی نام دارد. سرعت 317/5 کیلومتر بر ساعت سرعت بحرانی است. با رسیدن به سرعت هانتینگ بحرانی، دامنه ارتعاشات به مقدار ثابتی خواهد رسید و حرکت هانتینگ (حلقه بسته) شروع خواهد شد. برای شرایط مذکور تحلیل زمانی چرخ و محور کشنده از بوزی پیشرو در شکل(5) نشان داده شده است. همچنین سرعت جانبی چرخ و محور کشنده از بوزی پیشرو بر حسب جابجایی جانبی آن در شکل(6) نشان داده شده است. از این شکل مشاهده می شود که سیستم از حالت اولیه متناظر با ورود به قوس، شروع خواهد شد و با گذشت زمان بر یک حلقه بسته ثابت خواهد شد.

فرکانس، پاسخ افزایش می‌یابد تا این که به فرکانسی می‌رسد که در آن پاسخ ماکریم است، این فرکانس، فرکانس اصلی را نشان می‌دهد. از فرکانس اصلی به بعد با افزایش فرکانس، پاسخ کاهش می‌یابد. با توجه به این شکل فرکانس اصلی برای ریلهای الاستیک خطی [20] و غیرخطی به ترتیب برابر 23/56 و 23/22 هرتز است.

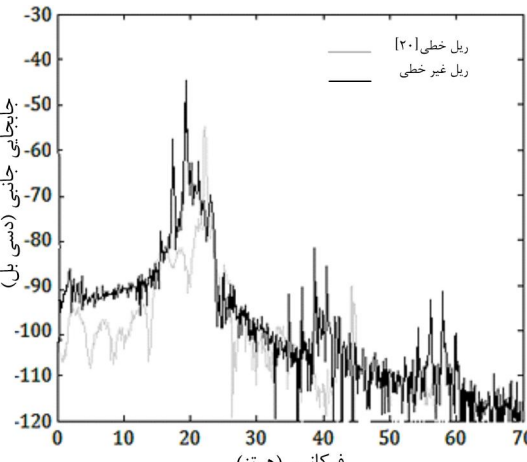
طیف توان برای سرعت بحرانی 317/5 کیلومتر بر ساعت، برای ریلهای الاستیک خطی و غیرخطی در شکل (10) مقایسه شده است. با توجه به این شکل، فرکانس هانتینگ برای ریل الاستیک خطی [20] و غیرخطی به ترتیب برابر 22/22 و 19/333 هرتز است. بنابراین فرکانس هانتینگ ریل الاستیک خطی از غیرخطی بیشتر است. برای سرعت بالای بحرانی 320 کیلومتر بر ساعت نیز در شکل (11) رسم شده، که فرکانس اصلی برای ریل الاستیک خطی [20] و غیرخطی به ترتیب برابر 21/333 و 19/11 هرتز است.

5-3- نگاشت پونکاره

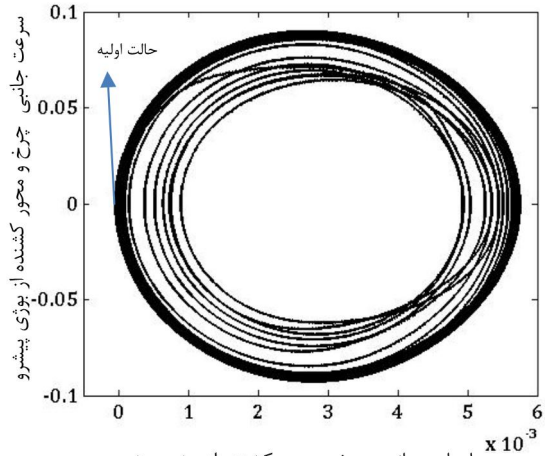
نمودارهای فوق نگاشت پونکاره در فضای فاز سیستم را در سرعت بحرانی (13) و حالت فوق بحرانی (نمودار (14)) نشان می‌دهد، رفتار سیستم متناوب پایدار (حلقه بسته)، در این حالت مقطع پونکاره از تعداد نقاط محدود تشکیل شده است و فضای فاز متناظر با آن دارای جذب‌کننده‌ی تناوی می‌باشد. در حالی که در حالت پایدار همان‌طور که در نمودار (12) نشان داده شده است سیستم دارای جذب‌کننده‌ی نقطه‌ای می‌باشد و رفتار سیستم در حالت ماندگار کاملاً مستهلک می‌گردد.



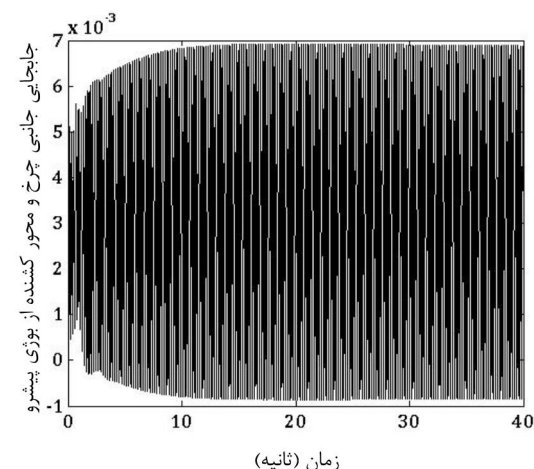
شکل 9 طیف توان چرخ و محور کشنده از بوژی پیشرو (برای سرعت 312 کیلومتر بر ساعت)



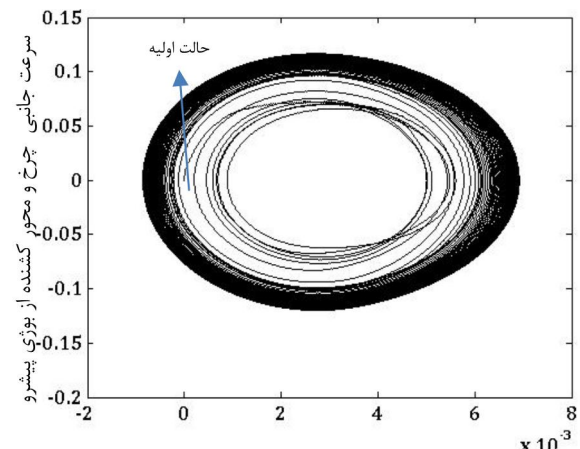
شکل 10 طیف توان چرخ و محور کشنده از بوژی پیشرو (برای سرعت 317/5 کیلومتر بر ساعت)



شکل 6 سرعت جانبی چرخ و محور کشنده از بوژی پیشرو (برای سرعت 317/5 کیلومتر بر ساعت) جانبی آن ($y_{w_{11}}$) (برای سرعت 317/5 کیلومتر بر ساعت)



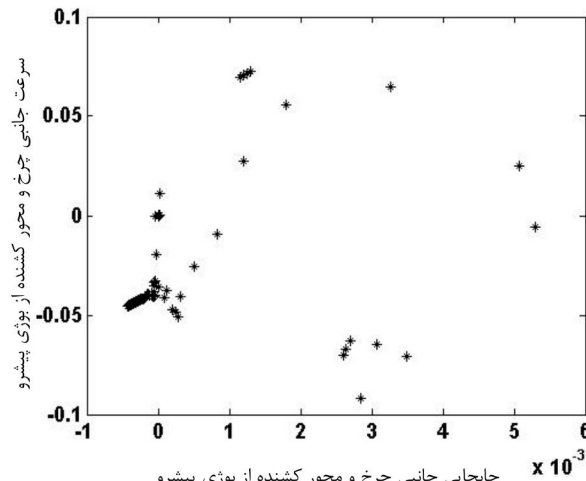
شکل 7 جایجاپی جانبی چرخ و محور کشنده از بوژی پیشرو بر حسب زمان (برای سرعت 320 کیلومتر بر ساعت)



شکل 8 سرعت جانبی چرخ و محور کشنده از بوژی پیشرو (برای سرعت 320 کیلومتر بر ساعت) جانبی آن ($y_{w_{11}}$) (برای سرعت 320 کیلومتر بر ساعت)

5-2- طیف توان

به جای ارائه مقدار یک سیگنال به صورت تابعی از زمان می‌توان آن را به صورت تابعی از فرکانس بیان کرد. برای سرعت 312 کیلومتر بر ساعت طیف توان در شکل (9) بدستآمده است. از این شکل مشاهده می‌شود که با افزایش

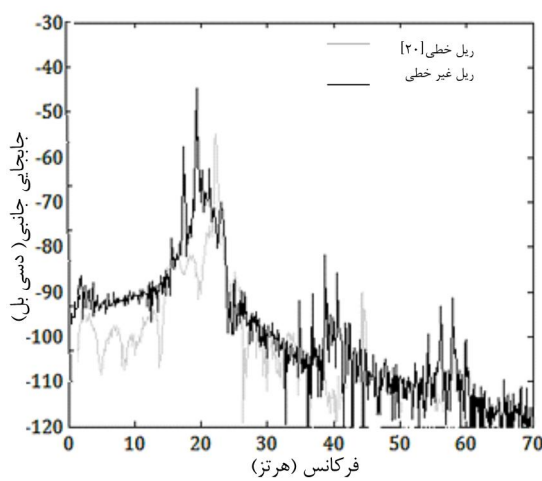


شکل 14 نگاشت پونکاره سرعت جانبی چرخ و محور کشنده از بوزی پیشرو بر حسب جایجایی جانبی آن (برای سرعت 320 کیلومتر بر ساعت)

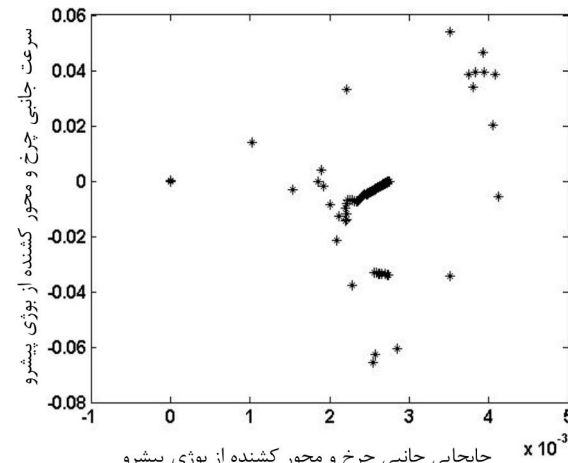
از روش رانگ کاتا برای حل معادلات مستقل غیرخطی حرکت استفاده شده است. رفتار بلندمدت مشخص می‌کند که ارتعاشات در سرعت‌های کمتر از سرعت‌های بحرانی به سمت حالت پایدار نوسان می‌کنند. در حرکت پایدار تا زمانی که سرعت کمتر از سرعت بحرانی است، نوسان ادامه دارد. وقتی سیستم به سرعت بحرانی می‌رسد حرکت سیکل محدود برای اولین بار رخ می‌دهد. وقتی سرعت بالاتر از سرعت بحرانی باشد دامنه ارتعاش به طور مالیم افزایش می‌یابد. از منحني پاسخ فرکانسی سیستم نتیجه می‌گردد که فرکانس اصلی سیستم برای ریل‌های الاستیک خطی از مدل غیرخطی بیشتر است. همچنین با رسم نگاشت پونکاره رفتار دینامیکی سیستم در فضای گستته نشان داده شده است، که با بررسی پاسخ دیده شد که در حالت سرعت کمتر بحرانی، سیستم پایدار و دارای جذب‌کننده نقطه‌ای می‌باشد و رفتار سیستم در حالت ماندگار کاملاً مستهلك می‌گردد. در حالی که در سرعت‌های بحرانی فوق بحرانی مقطع پونکاره از تعداد نقاط محدود تشکیل شده است و فضای فار متناظر با آن دارای جذب‌کننده‌ی تناوبی می‌باشد.

7- فهرست علائم

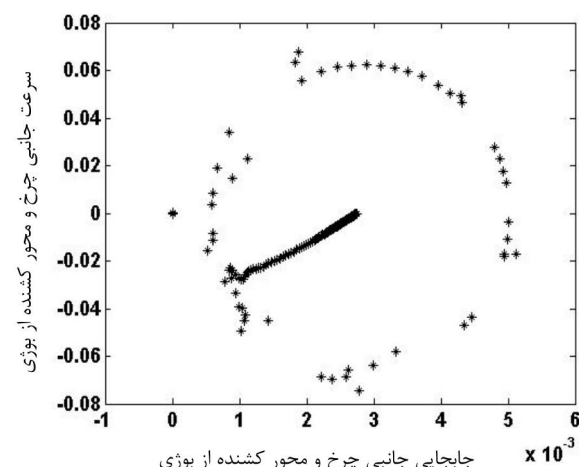
نصف فاصله‌ی بین لبه‌های داخلی ریل‌ها	a
نصف فاصله میان فنرهای طولی و قائم سیستم تعليق اولیه	b_{c1}, b_{c3}
نصف فاصله میان دمپرهای طولی و قائم سیستم تعليق اولیه	b_{c2}, b_{c4}
نصف فاصله میان فنرهای طولی و قائم سیستم تعليق ثانویه	b_{t1}, b_{t3}
نصف فاصله میان دمپرهای طولی و قائم سیستم تعليق ثانویه	b_{t2}, b_{t4}
ضرایب دمپینگ طولی، جانبی و قائم سیستم تعليق اولیه	C_{px}, C_{py}, C_{pz}
ضرایب دمپینگ طولی، جانبی و قائم سیستم تعليق ثانویه	C_{sx}, C_{sy}, C_{sz}
نیروهای خطی خرشی در جهت‌های طولی، جانبی و قائم اعمالی بر چرخ چپ	$F_{Lxij}, F_{Lyij}, F_{Lzij}$
نیروهای خرشی تئوری کالکر در جهت‌های طولی و جانبی اعمالی بر چرخ چپ	F_{Lxij}, F_{Lyij}
نیروهای خطی خرشی در جهت‌های طولی، جانبی و قائم اعمالی بر چرخ راست	$F_{Rxij}, F_{Ryij}, F_{Rzij}$
نیروهای خرشی تئوری کالکر در جهت‌های طولی و جانبی اعمالی بر چرخ راست	F_{Rxij}, F_{Ryij}
نیروهای سیستم تعليق اعمالی بر بدن و اگن، بدن بوزی و چرخ و محورها در جهت طولی	$F_{sxc}, F_{sxti}, F_{sxwz}$



شکل 11 طیف توان چرخ و محور کشنده از بوزی پیشرو (برای سرعت 320 کیلومتر بر ساعت)



شکل 12 نگاشت پونکاره سرعت جانبی چرخ و محور کشنده از بوزی پیشرو بر حسب جایجایی جانبی آن (برای سرعت 312 کیلومتر بر ساعت)



شکل 13 نگاشت پونکاره سرعت جانبی چرخ و محور کشنده از بوزی پیشرو بر حسب جایجایی جانبی آن (برای سرعت 317/5 کیلومتر بر ساعت)

6- بحث و نتیجه‌گیری

در این تحقیق، خودرو ریلی سرعت بالا شامل بدنه خودرو ریلی دو بوزی و چهار چرخ و محور مدل سازی گردید. مدل دینامیکی سیستم از 38 درجه آزادی شامل جایجایی طولی، عرضی، قائم و چرخش حول محورهای مذکور تشکیل شده است.

$x_w, y_w, z_w, \varphi_w, \gamma_w, \psi_w$ مختصات طولی، جانبی، قائم و دوران حول محورهای مذکور برای چرخ و محور

علامت یونانی

ضریب اشباع در مدل خرز غیرخطی	α_{ij}
ضریب غیرخطی در مدل خرز غیرخطی	β_{ij}
ضریب غیرخطی چرخ سمت چپ در مدل خرز غیرخطی	β_{Lij}
ضریب غیرخطی چرخ سمت راست در مدل خرز غیرخطی	β_{Rij}
لقی لبه‌ی چرخ	δ
زاویه‌ی تماس چرخ‌های سمت چپ و راست	δ_L, δ_R
مخروطیت چرخ	λ
ضریب اصطکاک	μ
زاویه شیب ریل	φ_{se}

8- پیوست‌ها

8-1-پیوست الف

نیروها و ممان‌های سیستم تعليق در این پیوست آورده شده است.

8-1-1-بدنه خودرو ریلی

$$\begin{aligned} F_{sxc} &= -2K_{sx}(x_c - x_{t1}) - 2K_{sx}(x_c - x_{t2}) \\ &\quad - 2C_{sx}(\dot{x}_c - \dot{x}_{t1}) - 2C_{sx}(\dot{x}_c - \dot{x}_{t2}) \\ F_{syc} &= -2K_{sy}(y_c - y_{t1}) - 2C_{sy}(\dot{y}_c - \dot{y}_{t1}) \\ &\quad - 2K_{sy}\{(h-h_c-h_t)\phi_c + h\phi_{t1}\} - 2K_{sy}(y_c - y_{t2}) \\ &\quad - 2C_{sy}\{(h-h_c-h_t)\dot{\phi}_c + h\dot{\phi}_{t1}\} - 2C_{sy}(\dot{y}_c - \dot{y}_{t2}) \\ &\quad - 2K_{sy}\{(h-h_c-h_t)\phi_c + h\phi_{t2}\} \\ &\quad - 2C_{sy}\{(h-h_c-h_t)\dot{\phi}_c + h\dot{\phi}_{t2}\} \\ F_{szc} &= -2K_{sz}(z_c - z_{t1}) - 2K_{sz}(z_c - z_{t2}) \\ &\quad - 2C_{sz}(\dot{z}_c - \dot{z}_{t1}) - 2C_{sz}(\dot{z}_c - \dot{z}_{t2}) \\ M_{sxc} &= (h-h_c-h_t)\{-2K_{sy}(y_c - y_{t1}) - 2C_{sy}(\dot{y}_c - \dot{y}_{t1})\} \\ &\quad - 2K_{sy}\{(h-h_c-h_t)\phi_c + h\phi_{t1}\} \\ &\quad - 2C_{sy}\{(h-h_c-h_t)\dot{\phi}_c + h\dot{\phi}_{t1}\} \\ &\quad - 2K_{sy}(y_c - y_{t2}) - 2C_{sy}(\dot{y}_c - \dot{y}_{t2}) \\ &\quad - 2K_{sy}\{(h-h_c-h_t)\phi_c + h\phi_{t2}\} \\ &\quad - 2C_{sy}\{(h-h_c-h_t)\dot{\phi}_c + h\dot{\phi}_{t2}\} \\ &\quad + b_{c3}^2\{-2K_{sy}(\phi_c - \phi_{t1}) - 2K_{sy}(\phi_c - \phi_{t2})\} \\ &\quad + b_{c4}^2\{-2C_{sy}(\dot{\phi}_c - \dot{\phi}_{t1}) - 2C_{sy}(\dot{\phi}_c - \dot{\phi}_{t2})\} \\ M_{syc} &= L_c 2K_{sz}(z_c - z_{t1}) - 4K_{sz}L_c^2\gamma_c + L_c 2C_{sz}(\dot{z}_c - \dot{z}_{t1}) \\ &\quad - 4C_{sz}L_c^2\dot{\gamma}_c - L_c 2K_{sz}(z_c - z_{t2}) - L_c 2C_{sz}(\dot{z}_c - \dot{z}_{t2}) \\ &\quad + L_c(h-h_c-h_t)[-2K_{sx}(h-h_c-h_t)\gamma_c + h\gamma_{t1}] \\ &\quad - 2C_{sx}((h-h_c-h_t)\dot{\gamma}_c + h\dot{\gamma}_{t1}) \\ &\quad - 2K_{sx}((h-h_c-h_t)\gamma_c + h\gamma_{t2}) \\ &\quad - 2C_{sx}((h-h_c-h_t)\dot{\gamma}_c + h\dot{\gamma}_{t2})] \\ M_{sxc} &= b_{c1}^2\{-2K_{sx}(\psi_c - \psi_{t1}) - 2K_{sx}(\psi_c - \psi_{t2})\} \\ &\quad + 2b_{c2}^2\{-2C_{sx}(\psi_c - \psi_{t1}) - 2C_{sx}(\dot{\psi}_c - \dot{\psi}_{t2})\} \\ &\quad + L_c[-2K_{sy}(y_c - y_{t1}) - 4K_{sy}L_c^2\psi_c + L_c 2C_{sy}(y_c - y_{t1}) \\ &\quad - 4C_{sy}L_c^2\dot{\psi}_c - L_c 2K_{sz}(z_c - z_{t2}) - L_c 2C_{sy}(\dot{y}_c - \dot{y}_{t2}) \\ &\quad - 2K_{sy}L_c\{(h-h_c-h_t)\phi_c + h\phi_{t1}\} \\ &\quad - 2C_{sy}L_c\{(h-h_c-h_t)\dot{\phi}_c + h\dot{\phi}_{t1}\} \end{aligned}$$

نیروهای سیستم تعليق اعمالی بر بدنه واگن، بدنه بوژی و چرخ و محورها در جهت جانبی

$$F_{syc}, F_{sxti}, F_{sywij}$$

نیروهای سیستم تعليق اعمالی بر بدنه واگن، بدنه بوژی و چرخ و محورها در جهت قائم

$$F_{szc}, F_{sztii}, F_{szwij}$$

نیروی اعمالی بر لبه‌ی چرخ

$$F_{lij}$$

ضرایب نیروهای خرزی جانبی، خرزی جانبی / چرخشی، خرزی چرخشی، خرزی طولی h : فاصله‌ی قائم بین مرکز جرم بدنه چرخ و محور

$$f_{11}, f_{12}, f_{22}, f_{33}$$

جرم بدنه خودرو ریلی و بدنه چرخ و محور

$$h_0$$

نصف فاصله‌ی قائم بین بدنه بوژی و سیستم تعليق ثانویه

$$h_6$$

فاصله‌ی قائم بین مرکز جرم بدنه بوژی و بدنه چرخ و محور

$$I_{cx}, I_{cy}, I_{cz}$$

ممان اینرسی جرمی بدنه واگن حول محورهای طولی، عرضی و قائم

$$I_{tx}, I_{ty}, I_{tz}$$

ممان اینرسی جرمی چرخ و محور حول محورهای طولی، عرضی و قائم

$$I_{wx}, I_{wy}, I_{wz}$$

سختی‌های طولی، جانبی و قائم سیستم تعليق اولیه

$$K_{px}, K_{py}, K_{pz}$$

سختی‌های طولی، جانبی و قائم سیستم تعليق ثانویه

$$K_{sx}, K_{sy}, K_{sz}$$

$$K_{ry}, K_{rz}$$

$$L_c$$

فاصله‌ی طولی بین مرکز جرم بدنه خودرو ریلی و مرکز جرم

بدنه بوژی

$$L_{l1}, L_{l2}$$

نصف بازوی فنر و دمیر جانبی سیستم تعليق اولیه

$$M_{Lxij}, M_{Lzij}$$

ممان‌های خطی خرزی در جهت‌های طولی و قائم اعمالی بر چرخ چپ

$$M_{Lzij}^*$$

ممان خرزی تئوری کالکر در جهت‌های قائم اعمالی بر چرخ

$$M_{Rzij}$$

ممان‌های خطی خرزی در جهت‌های طولی و قائم اعمالی بر چرخ راست

$$M_{Rzij}^*$$

ممان خرزی تئوری کالکر در جهت‌های قائم اعمالی بر چرخ راست

$$M_{Rzij}$$

ممان‌های سیستم تعليق اعمالی بر بدنه واگن، بدنه بوژی و چرخ و محورها در جهت طولی

$$M_{syc}, M_{sxti}, M_{sxwjj}$$

ممان‌های سیستم تعليق اعمالی بر بدنه واگن، بدنه بوژی و چرخ و محورها در جهت طولی

$$M_{syc}, M_{sytii}, M_{sywjj}$$

$$m_c, m_l, m_w$$

جرم‌های بدنه خودرو ریلی، بوژی و چرخ و محورها

$$N_{Lxij}, N_{Lyij}, N_{Lzij}$$

نیروهای نرمال در جهت‌های طولی، جانبی و قائم اعمالی بر چرخ چپ

$$R_{Rzij}, R_{Ryij}, R_{Rzij}$$

نیروهای نرمال در جهت‌های طولی، جانبی و قائم اعمالی بر چرخ راست

$$N_{Rzij}, N_{Ryij}, N_{Rzij}$$

درجه غیرخطی بودن ریل الاستیک

$$n$$

بردار مکان چرخ سمت چپ در جهت‌های طولی، جانبی و قائم

$$R_{Lxij}, R_{Lyij}, R_{Lzij}$$

بردار مکان چرخ سمت راست در جهت‌های طولی، جانبی و قائم

$$R_{Rzij}, R_{Ryij}, R_{Rzij}$$

شعاع قوس ریل

$$R_y$$

شعاع غلتی اسمی چرخ و محور

$$\xi$$

شعاع غلتی اسمی چرخ سمت چپ و راست

$$r_L, r_R$$

سرعت حرکت

$$V$$

$X_c, Y_c, Z_c, \varphi_c, \gamma_c, \psi_c$ مختصات طولی، جانبی، قائم و دوران حول محورهای مذکور

برای بدنه خودرو ریلی

$$x_i, y_i, z_i, \varphi_i, \gamma_i, \psi_i$$

مختصات طولی، جانبی، قائم و دوران حول محورهای مذکور

برای بدنه خودرو بوژی

$$x_i, y_i, z_i, \varphi_i, \gamma_i, \psi_i$$

(ب) نشان داده شده است.

جدول (ب-1) مقادیر پارامترهای محاسباتی

مقادیر	پارامترها
$m_c = 34000, m_t = 3000,$ $m_w = 1400$	جرم‌های بدن خودرو ریلی، بوزی و چرخ [kg]
$I_{cx} = 75 / 06 \times 10^3,$ $I_{cy}, I_{cz} = 2 / 086 \times 10^3$	ممان اینترسی جرمی بدن و اگن حول محورهای طولی، عرضی و قائم [kgm ²]
$I_{tx} = 2260$ $I_{tw} = 2710, I_{tx} = 3160$	ممان اینترسی جرمی بدن بوزی حول محورهای طولی، عرضی و قائم [kgm ²]
$I_{wx} = 915,$ $I_{wy} = 140, I_{wx} = 915$	ممان اینترسی جرمی چرخ و محور حول محورهای طولی، عرضی و قائم [kgm ²]
$K_{px} = 10000, K_{py} = 5000$ $K_{pz} = 750$	سختی‌های طولی، جانبی و قائم سیستم تعليق اولیه [kN/m]
$K_{sx} = 150, K_{sy} = 150$ $K_{sz} = 400$	سختی‌های طولی، جانبی و قائم سیستم تعليق ثانویه [kN/m]
$C_{px} = 12, C_{py} = 12$ $C_{pz} = 15$	ضرایب دمپینگ طولی، جانبی و قائم سیستم تعليق اولیه [kNs/m]
$C_{sx} = 200, C_{sy} = 30$ $C_{sz} = 80$	ضرایب دمپینگ طولی، جانبی و قائم سیستم تعليق ثانویه [kNs/m]
$K_{rz} = 62 \times 10^4,$ $K_{ry} = 16 / 17 \times 10^4$	سختی‌های جانبی و قائم ریل [kN/m]
$R_y = 2500$	شعاع قوس ریل [m]
$\varphi_{se} = 0.0873$	زاویه شیب ریل [rad]
$\mu = 0.2$	ضریب اصطکاک
$g = 9.81$	شتان گرانشی [kgm ²]
$\lambda = 0.05$	مخروطیت چرخ
$\delta = 0.00923$	لقی لبه چرخ [m]
$f_{11} = 10 / 2 \times 10^4$	ضریب نیروی خوشی جانبی [N]
$f_{12} = 3 / 120$	ضریب نیروی خوشی جانبی/چرخشی [N]
$f_{22} = 16$	ضریب نیروی خوشی چرخشی [N]
$f_{33} = 15 \times 10^4$	ضریب نیروی خوشی طولی [N]
$a = 0.7465$	نصف فاصله میان لبه‌های داخلی ریلها [m]
$r_o = 0.4575$	شعاع غلتش اسمی چرخ و محور [m]
$b_{c1}, b_{c2} = 1/21$	نصف فاصله میان فرهای طولی و قائم سیستم تعليق اولیه [m]
$b_{c2}, b_{t3} = 1/21$	نصف فاصله میان دمپر های طولی و قائم سیستم تعليق اولیه [m]
$b_{t1}, b_{t3} = 0.978$	نصف فاصله میان فرهای طولی و قائم سیستم تعليق ثانویه [m]
$b_{t2}, b_{t4} = 0.978$	نصف فاصله میان دمپر های طولی و قائم سیستم تعليق ثانویه [m]
$L_h, L_{t2} = 1/2$	نصف بازوی فنر و دمپر جانبی سیستم تعليق اولیه [m]
$L_c = 9$	فاصله‌ی طولی بین مرکز جرم بدن خودرو ریلی و مرکز جرم بدن بوزی [m]
$h = 1/4$	فاصله‌ی قائم بین مرکز جرم بدن خودرو ریلی و بدن چرخ و محور [m]
$h_b = 0.03$	نصف فاصله‌ی قائم بین بدن بوزی و سیستم تعليق ثانویه [m]
$h_G = 0/44$	فاصله‌ی قائم بین مرکز جرم بدن بوزی و بدن چرخ و محور [m]

$$+ 2K_{sy}L_c\{(h-h_G-h_b)\phi_c + h_b\dot{\phi}_{t2}\}$$

$$+ 2C_{sy}L_c\{(h-h_G-h_b)\dot{\phi}_c + h_b\ddot{\phi}_{t2}\}$$

2-1-8- قاب بوزی‌ها

$$F_{sxti} = -2K_{sx}(x_{ti} - x_c) - 2K_{px}(x_{ti} - x_{wi1}) - 2K_{px}(x_{ti} - x_{wi2})$$

$$- 2C_{sx}(\dot{x}_{ti} - \dot{x}_c) - 2C_{px}(\dot{x}_{ti} - \dot{x}_{wi1}) - 2C_{px}(\dot{x}_{ti} - \dot{x}_{wi2})$$

$$F_{sztii} = 2K_{sz}(z_c - z_{ti}) + 2C_{sz}(z_c - z_{ti})$$

$$- 2(-1)^l K_{sz}L_c\gamma_c - 2(-1)^l C_{sz}L_c\dot{\gamma}_c - 2K_{pz}(z_{ti} - z_{wi1})$$

$$- 2K_{pz}(z_{ti} - z_{wi2}) - 2C_{pz}(z_{ti} - z_{wi1}) - 2C_{pz}(z_{ti} - z_{wi2})$$

$$F_{syti} = 2K_{sy}(y_c - y_{ti}) + 2C_{sy}(\dot{y}_c - \dot{y}_{ti}) - 2(-1)^l K_{sy}L_c\psi_c$$

$$- 2(-1)^l C_{sy}L_c\dot{\psi}_c + 2K_{sy}\{(h-h_G-h_b)\phi_c + h_b\dot{\phi}_{ti}\}$$

$$+ 2C_{sy}\{(h-h_G-h_b)\dot{\phi}_c + h_b\ddot{\phi}_{ti}\} - 2K_{py}(y_{ti} - y_{wi1})$$

$$- 2K_{py}(L_{ti}\psi_{ti} - L_w\psi_{wi1}) - 4C_{py}h_b\phi_{ti} - 2K_{py}(y_{ti} - y_{wi2})$$

$$+ 2K_{py}(L_{ti}\psi_{ti} - L_w\psi_{wi2}) - 2C_{py}(\dot{y}_{ti} - \dot{y}_{wi2})$$

$$+ 2C_{py}(L_{ti}\dot{\psi}_{ti} - L_w\dot{\psi}_{wi2})$$

$$M_{sxti} = 2b_{c3}^2 K_{sz}(\phi_c - \phi_{ti}) + 2b_{c4}^2 C_{sz}(\dot{\phi}_c - \dot{\phi}_{ti})$$

$$+ h_b\{-2K_{sy}(y_c - y_{ti}) - 2C_{sy}(\dot{y}_c - \dot{y}_{ti})\} - 2(-1)^l K_{sy}L_c\psi_c$$

$$- 2(-1)^l C_{sy}L_c\dot{\psi}_c - 2K_{sy}\{(h-h_G-h_b)\phi_c + h_b\dot{\phi}_{ti}\}$$

$$- 2C_{sy}\{(h-h_G-h_b)\dot{\phi}_c + h_b\ddot{\phi}_{ti}\} + b_{t3}^2 \{-2K_{pz}(\phi_{ti} - \phi_{wi1})$$

$$- 2K_{pz}(\phi_{ti} - \phi_{wi2})\} + b_{t3}^2 \{-2C_{pz}(\dot{\phi}_{ti} - \dot{\phi}_{wi1})$$

$$- 2C_{pz}(\dot{\phi}_{ti} - \dot{\phi}_{wi2})\} + h_b\{-2K_{py}(y_{ti} - y_{wi1})$$

$$- 2K_{py}(L_{ti}\psi_{ti} - L_w\psi_{wi1}) - 4K_{py}h_b\phi_{ti}$$

$$- 2K_{py}(y_{ti} - y_{wi2}) + 2k_{py}(L_{ti}\psi_{ti} - L_w\psi_{wi2})$$

$$- 2C_{py}(\dot{y}_{ti} - \dot{y}_{wi1}) - 2C_{py}(L_{ti}\dot{\psi}_{ti} - L_w\dot{\psi}_{wi1})$$

$$- 2C_{py}(\dot{y}_{ti} - \dot{y}_{wi2}) + 2C_{py}(L_{ti}\dot{\psi}_{ti} - L_w\dot{\psi}_{wi2}) - 4C_{py}h_b\dot{\phi}_{ti}\}$$

$$M_{sytii} = h_b[-2K_{sx}\{(h-h_G-h_b)\gamma_c + h_b\gamma_{ti}\}]$$

$$- 2C_{sx}\{(h-h_G-h_b)\dot{\gamma}_c + h_b\dot{\gamma}_{ti}\}$$

$$+ h_c\{-4K_{px}h_c\gamma_{ti} - 4C_{px}h_c\dot{\gamma}_{ti}\} + L_G\{2K_{px} - 4K_{pz}L_G\gamma_{ti}$$

$$+ 2C_{pz}(\dot{z}_{ti} - \dot{z}_{wi1}) - 4C_{pz}L_G\dot{\gamma}_{ti} - 2K_{px} - 2C_{pz}(\dot{z}_{ti} - \dot{z}_{wi2})\}]$$

$$M_{sztii} = 2b_{c1}^2 K_{sx}(\psi_c - \psi_{ti}) + 2b_{c2}^2 C_{sx}(\dot{\psi}_c - \dot{\psi}_{ti})$$

$$- 2b_{t1}^2 K_{px}(\psi_{ti} - \psi_{wi1}) - 2b_{t2}^2 C_{px}(\dot{\psi}_{ti} - \dot{\psi}_{wi1})$$

$$- 2b_{t1}^2 K_{px}(\psi_{ti} - \psi_{wi2}) - 2b_{t2}^2 C_{px}(\dot{\psi}_{ti} - \dot{\psi}_{wi2})$$

$$+ L_{t1}\{-2K_{py}(y_{ti} - y_{wi1}) - 2K_{py}(L_{ti}\psi_{ti} + L_w\psi_{wi1})\}$$

$$+ 2K_{py}(y_{ti} - y_{wi2}) - 2K_{py}(L_{ti}\psi_{ti} + L_w\psi_{wi2})\}$$

$$+ L_{t2}\{-2C_{py}(\dot{y}_{ti} - \dot{y}_{wi1}) - 2C_{py}(L_{ti}\dot{\psi}_{ti} - L_w\dot{\psi}_{wi1})$$

$$+ 2C_{py}(\dot{y}_{ti} - \dot{y}_{wi2}) - 2C_{py}(L_{ti}\dot{\psi}_{ti} + L_w\dot{\psi}_{wi2})\}$$

3-1-8- چرخ و محورها

$$F_{sxwjj} = -2K_{px}(x_{wj} - x_{ti}) - 2C_{sx}(\dot{x}_{wj} - \dot{x}_{ti})$$

$$F_{sywjj} = -2K_{py}y_{wj} - 2C_{py}\dot{y}_{wj} + 2K_{py}y_{ti} + 2C_{py}\dot{y}_{ti}$$

$$- 2(-1)^l K_{py}L_{ti}\psi_{wj} - 2(-1)^l C_{py}L_{t2}\dot{\psi}_{ti} + 2K_{py}h_b\phi_{ti}$$

$$+ 2C_{py}h_b\dot{\phi}_{ti}$$

$$F_{szwjj} = -2K_{pz}Z_{wj} - 2C_{pz}\dot{Z}_{wj} + 2K_{pz}Z_{ti} + 2C_{pz}\dot{Z}_{ti}$$

$$M_{szwjj} = -2b_{t1}^2 K_{px}\psi_{wj} - 2b_{t2}^2 C_{px}\dot{\psi}_{wj} + 2b_{t1}^2 K_{px}\psi_{ti} + 2b_{t2}^2 C_{px}\dot{\psi}_{ti}$$

$$M_{sxwjj} = -2b_{t1}^2 K_{px}\phi_{wj} - 2b_{t2}^2 C_{px}\dot{\phi}_{wj} + 2b_{t1}^2 K_{px}\phi_{ti} + 2b_{t2}^2 C_{px}\dot{\phi}_{ti}$$

2-8- پیوست ب

مقادیر پارامترهای محاسباتی برای حل عددی معادلات دیفرانسیل در جدول

9- مراجع

- [11] K. Zboinski and M. Dusza, "Self-exciting vibrations and Hopf's bifurcation in non-linear stability analysis of rail vehicles in a curved track," *European Journal of Mechanics-A/Solids*, vol. 29, pp. 190-203, 2010.
- [12] W. Zhai and K. Wang, "Lateral Hunting Stability of Railway Vehicles Running on Elastic Track Structures," *Journal of Computational and Nonlinear Dynamics*, vol. 5, p. 041009, 2010.
- [13] P. Kim and J. Seok, "Bifurcation analysis on the hunting behavior of a dual-bogie railway vehicle using the method of multiple scales," *Journal of Sound and Vibration*, vol. 329, pp. 4017-4039, 2010.
- [14] P. Kim, J. Jung, and J. Seok, "A parametric dynamic study on hunting stability of full dual-bogie railway vehicle," *International Journal of Precision Engineering and Manufacturing*, vol. 12, pp. 505-519, 2011.
- [15] W. Wang and G.-x. Li, "Development of high-speed railway vehicle derailment simulation-Part I: A new wheel/rail contact method using the vehicle/rail coupled model," *Engineering Failure Analysis*, vol. 24, pp. 77-92, 2012.
- [16] W. Wang and G.-x. Li, "Development of high-speed railway vehicle derailment simulation-Part II: Exploring the derailment mechanism," *Engineering Failure Analysis*, vol. 24, pp. 93-111, 2012.
- [17] H.-Y. Choi, D.-H. Lee, and J. Lee, "Optimization of a railway wheel profile to minimize flange wear and surface fatigue," *Wear*, vol. 300, pp. 225-233, 2013.
- [18] S. Iwnicki, *Handbook of railway vehicle dynamics*: CRC press, 2006.
- [19] R. V. Dukkipati, *Vehicle dynamics*: CRC Press, 2000.
- [20] X. Gao, Y. Li, and Q. Gao, "Lateral bifurcation behavior of a four-axle railway passenger car," *Journal of Applied Mechanics*, vol. 77, p. 061001, 2010.
- [1] W. A. H., "The hunting stability of railway vehicle wheelsets and bogies having profiled," *Railway Vehicle Structures*, Vol. 1, No. 1965, PP. 319- 341, 1965.
- [2] M. Ahmadian and S. Yang, "Effect of system nonlinearities on locomotive bogie hunting stability," *Vehicle System Dynamics*, vol. 29, pp. 365-384, 1998.
- [3] H. Yabuno, Okamoto T. and Aoshima, N, "Effect of lateral stiffness on nonlinear characteristics of hunting motion of a railway wheelset," *Meccano*, Vole. 37, PP. 555-568, 2002.
- [4] Y. Nath and K. Jayadev, "Influence of yaw stiffness on the nonlinear dynamics of railway wheelset," *Communications in Nonlinear Science and Numerical Simulation*, vol. 10, pp. 179-190, 2005.
- [5] V. K. a. D. Garg, R.V, "Dynamic of railway vehicle system," *Canada: Academic Press*, 1984
- [6] S.-Y. Lee and Y.-C. Cheng, "Influences of the vertical and the roll motions of frames on the hunting stability of trucks moving on curved tracks," *Journal of sound and vibration*, vol. 294, pp. 441-453, 2006.
- [7] Y.-T. Fan and W.-F. Wu, "Stability analysis and derailment evaluation of rail vehicles," *International journal of heavy vehicle systems*, vol. 13, pp. 194-211, 2006.
- [8] S.-Y. Lee and Y.-C. Cheng, "A new dynamic model of high-speed railway vehicle moving on curved tracks," *Journal of Vibration and Acoustics*, vol. 130, p. 011009, 2008.
- [9] J. Zeng and P. Wu, "Study on the wheel/rail interaction and derailment safety," *Wear*, vol. 265, pp. 1452-1459, 2008.
- [10] Y.-C. Cheng, S.-Y. Lee, and H.-H. Chen, "Modeling and nonlinear hunting stability analysis of high-speed railway vehicle moving on curved tracks," *Journal of Sound and Vibration*, vol. 324, pp. 139-160, 2009.